

### III-199 複合地盤の土圧の考え方について

不動建設株式会社 正員 水野恭男  
 不動建設株式会社 正員 寺田正治  
 不動建設株式会社 正員 ○坪井英夫

粘性土地盤にコンポーラーを打設したような複合地盤の土圧のとり方が従来より問題にされてきているが、本報ではこの土圧を算定するにあたって、土壤論的に力のつりあい式より解を求める、さらにこれを震度法に従って地震時の土圧式を求めた。

#### I. 常時の複合地盤土圧式

すべり面全体にコンポーラー・パイルが打設されているものとし、

図-1におけるすべり面方向の力のつりあい式は次式で与えられる。  $H$

$$P_p^A \cos\beta \text{ 土 } T = (Q + W) \sin\beta \quad (1)$$

(上号: 主働の場合、下号: 被働の場合)

ここに、  $T = T_1 + T_2 + T_3 + T_4$ ,  $T_1 = (1 - F_r) \cdot C H / \sin\beta = A_1 \cdot H / \sin\beta$

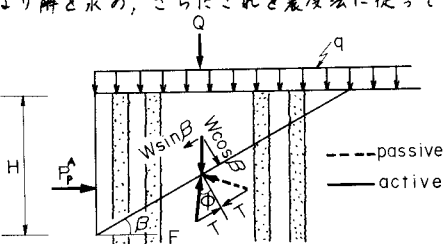


図-1 常時の土壌の釣合

$T_2 = F_r \tan\phi_s W \cos\beta = A_2 W \cos\beta$ ,  $T_3 = A_2 \mu_s Q \cos\beta$ ,  $T_4 = A_2 P_p^A \sin\beta$ ,  $W = \frac{1}{2} \bar{\gamma} H^2 \cot\beta$ ,  $Q = 8H$ ,  $\bar{\gamma}$ : 上載荷重,  $F_r$ : コンポーラーの圧入率,  $C$ : 平均的な原地盤粘着力,  $\bar{\gamma}$ : 平均単位体積重量 [ $(1 - F_r) \gamma_c + F_r \gamma_s$ ],  $\gamma_c$ : 原地盤の  $\gamma$ ,  $\gamma_s$ : コンポーラー砂杭の  $\gamma$ ,  $\mu_s$ : 応力分担比,  $A_2$ : 応力集中係数 [ $n / \{1 + (n-1) F_r\}$ ],  $\beta$ : 前壊角,  $\phi_s$ : 砂杭の内部摩擦角,  $A_1 = (1 - F_r) C = \bar{C}$ ,  $A_2 = F_r \tan\phi_s = \tan\bar{\phi}$

(1)式と  $P_p^A$  に関する整理し、 $P_p^A$  を最大にするように  $\beta$  を定め、 $P_p^A$  を求めると次式が得られる。

$$P_p^A = \frac{\bar{A}_3 X_p^A + A_3 X_p^A \mp A_1}{X_p^A \pm A_2} \cdot H \quad (2)$$

ここに、  $P_p^A$ : 主働土圧(上号),  $P_p$ : 被働土圧(下号),  $X_p^A = \mp A_2 + \sqrt{A_2^2 + A_3^2 A_5}$ ,  $A_3 = \frac{1}{2} \bar{\gamma} H + 8$ ,  $A_4 = \frac{1}{2} \bar{\gamma} H + \mu_s \bar{\gamma}$ ,  $A_5 = A_1 + A_2 \times A_4$ ,  $A_6 = A_1 + A_2 \times A_3$ ,  $\beta_p^A = \cot^{-1} X_p^A$

(2)式中、応力分担比を考慮しない方が安全側の結果を与えることになります。

(2)式を応力分担比の効果を無視し、土圧強度の式として求めると次のようになります。

$$P_p^A = K_p^A (\gamma_h + \bar{\gamma}) \mp 2 \alpha_p^A C \quad (3)$$

ここに、  $K_p^A = \tan^2 \left[ \frac{\pi}{4} \mp \frac{1}{2} \tan^{-1} (F_r \tan\phi_s) \right]$ ,  $\alpha_p^A = (1 - F_r) \tan \left[ \frac{\pi}{4} \mp \frac{1}{2} \tan^{-1} (F_r \tan\phi_s) \right] H$

#### II. 地震時の複合地盤土圧式

水平震度  $k_h$ , 鉛直震度  $k_v$  とすると震度法に従えば地盤合成角  $\theta_0$  は次のように表わされる。

$$\theta_0 = \tan^{-1} \left[ k_h / (1 - k_v) \right] \quad (4)$$

図-2 に示すように土壌全体を  $\theta_0$  だけ傾け、常時の場合と同様にして求めると次のように表示される。

$$P_{pe}^{AE} = A^* K_{pe}^{AE} \quad (5)$$

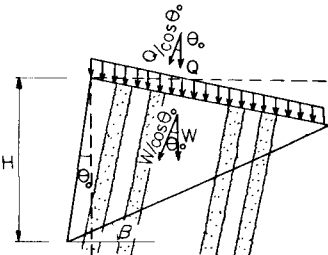
ここに、  $K_{pe}^{AE}$  は地震時複合地盤の主働土圧係数および被働土圧係数であり以下のように計算される。

$$K_{pe}^{AE} = \frac{Z_p^A [\cos(\bar{\phi} - \theta_0) \mp Z_p^A \sin(\bar{\phi} - \theta_0)] \mp \alpha (Z_p^A + 1)}{(Z_p^A \cos\bar{\phi} \pm \sin\bar{\phi})} \quad (6)$$

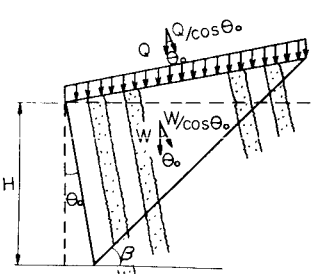
$$Z_p^A = \cot(\beta - \theta_0) = \mp \tan\bar{\phi} \pm \sec\bar{\phi} \sqrt{\frac{\cos\theta_0 \sin\bar{\phi} + \alpha}{\sin(\phi - \theta_0) + \alpha}} \quad (7)$$

$$\alpha = 2 \bar{C} \cos\bar{\phi} / ((1 - k_v) (\bar{\gamma} H + 2 \bar{\gamma})) \quad (8)$$

$$A^* = \frac{1 - k_v}{2 \cos\theta_0} (\bar{\gamma} H^2 + 2 \bar{\gamma} H) \quad (9)$$



(a) active



(b) passive

図-2 地震時の土壌の釣合

### III. 算定図表

(3)式の  $K_p$ ,  $\alpha'_p$  は砂杭の内部摩擦角, 压入率の関数であり図-3に示される。

地震時においては(5), (6), (7)式から明らかなように  $F_v$ ,  $\phi_s$ ,  $\theta_0$ ,  $\alpha(C, \phi, \alpha_0, \gamma, H, g)$  の関数であらわすことより,  $K_{AE}$ ,  $K_{PE}$  と  $\alpha$ との関係を示すと図-4のように示される。なお、同図においては、施工実績より、  
2)  $\phi_s = 30^\circ$  として計算している。

$F_v = 0.3, 0.5$  の場合は  $\phi_s = 30^\circ$  として、また  $F_v = 0.7$  の場合は  $\phi_s = 35^\circ$  として計算している。

(3)式はランキンの式に一致し、(5)式は  $C = 0$  としたとき物部の式に一致している。

### IV. 施工例

大阪南港において、埋立軟弱地盤 ( $C = 1.6 \text{ t/m}^2$ ,  $\gamma = 1.5 \text{ t/m}^3$ ) の山留めにコンポーラーを施工した例をあげる。図-5および図-6は、それぞれ失板の曲げモーメント図、変位図である。本例は、コンポーラーを掘削側(受働側)に施工した場合であり、図中の計算値には(3)式より求めた受働土圧 ( $K_p' = 1.5$ ,  $\alpha'_p = 0.83$ ) を使用した。側圧は切土の軸力の実測値にちびりて側圧係数  $K = 0.8$  として、また、 $-7.8 \text{ m}$  以深では失板下端  $-24.0 \text{ m}$  にて零となるように漸減して作用させた。曲げモーメント、変位の実測値と計算値は比較的よく一致を示している。ここでは省略したが、切土の軸力についても同様に実測値と計算値はよく一致を示している。なお、コンポーラーを施工しなかった場合を想定して計算を行なうと、3段目の効果の応力が許容値を越え結果となった。

### V. あとがき

今回、複合地盤の土圧式を土構論にしたがって説明し、本提案式を利用して実測値との対応を行ない若干の検討を加えた。本例では、実測値と複合地盤の土圧提案式による計算値と比較的よく一致をみたが、压入率(置換率)が低い場合については本提案式の適用に充分な注意を用す。また、地震時の土圧については、土構論によっているために解析不可能な領域が存在し、他の理論解析を導入する必要がある。最近では、コンポーラーの置換率の比較的大きな場合における土圧軽減への適用が次第に多くなってきている。これらは複合地盤の土圧式によって計算されておりが、実測値との対応は不完全であり、今後さらにデーターを蓄積して本提案式の実用性について検証してゆきたい。

### 参考文献

- 1) 萩下、水野、岩崎、浅井:「複合地盤の土圧に関する考察」、第11回土質工学研究発表会、1976、pp.717～pp.720
- 2) 萩下、末松、坪井、神田:「複合地盤の実施例に基づく設計諸数値の安全率に与える影響」、第10回土質工学研究発表会、1975、pp.323～pp.326

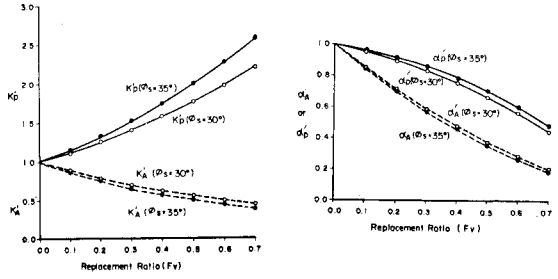


図-3 常時の複合地盤の土圧係数

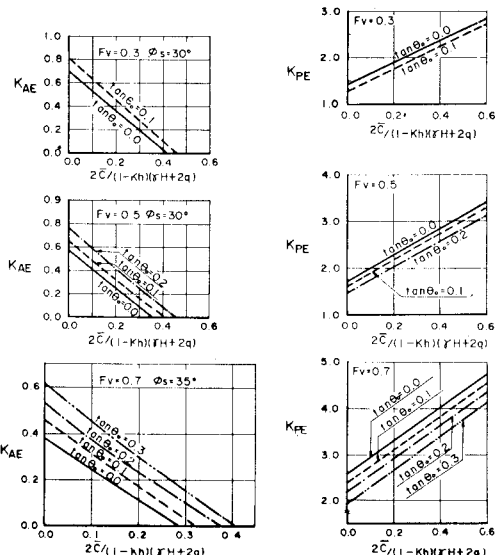


図-4 地震時の複合地盤の土圧係数

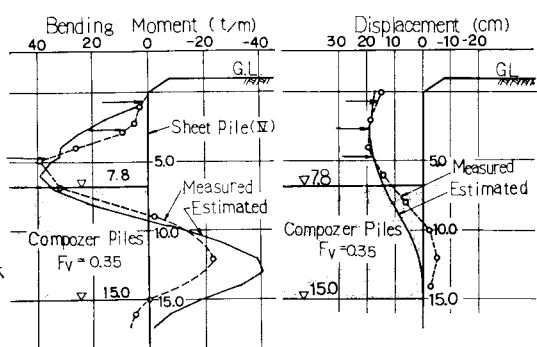


図-5 曲げモーメント図

図-6 変位図